



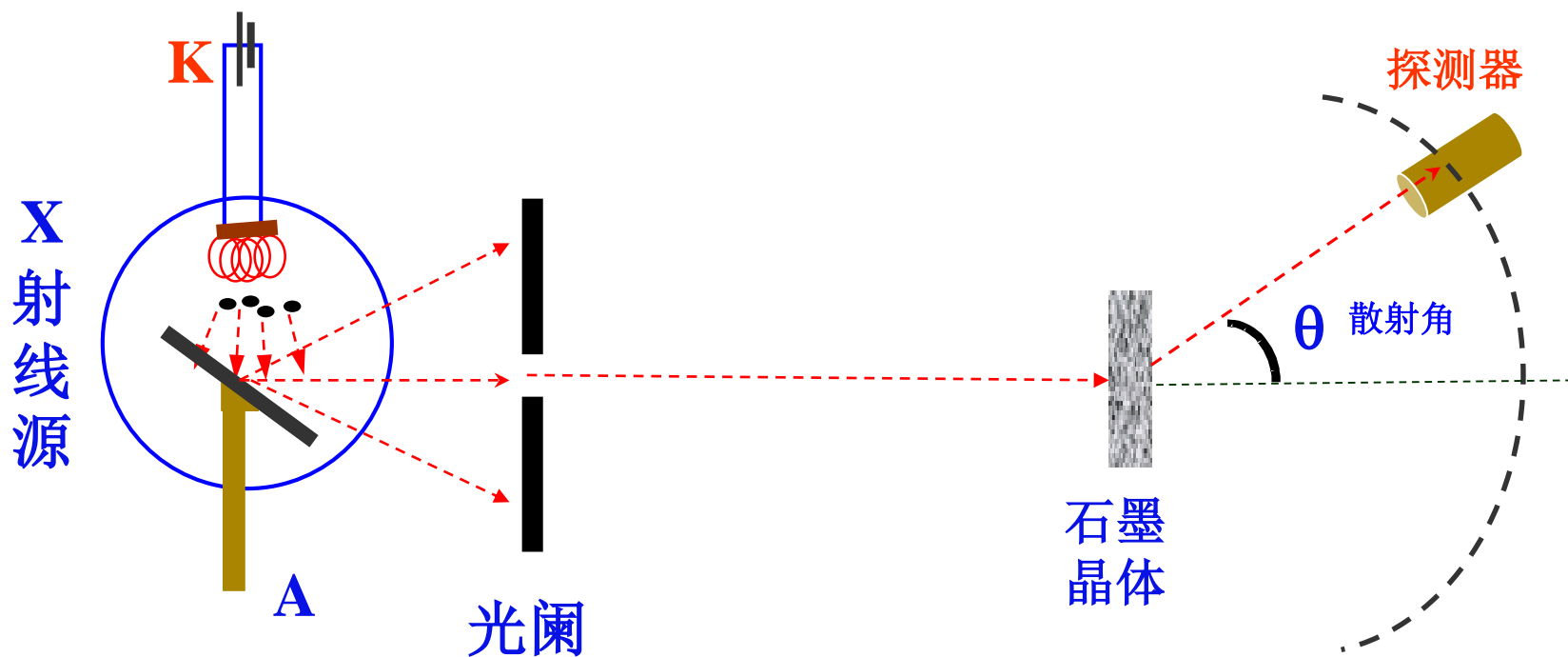
第十五章 量子物理

15-3 康普顿效应

知识点：康普顿效应的光子理论解释

一、康普顿效应的实验及其规律

1、实验装置



1923年, 测量了X射线沿各方向的散射波, 发现在散射光线中除了有与入射线波长相同的射线外, 还有波长大于入射线波长的射线, 这种改变波长的散射现象——康普顿效应 Compton Effect

一、康普顿效应的实验及其规律

2、康普顿散射的实验规律

- 1) 在散射光线中有与入射光波长相同的射线，也有波长大于入射光的射线；
- 2) 波长的偏移量 $\Delta\lambda = \lambda - \lambda_0$ 随散射角 θ 的增加而增加；
- 3) 在同一散射角 θ 下，所有散射物质波长的偏移量 $\Delta\lambda$ 都是相同的。
- 4) 在原子量较小的物质中，康普顿散射较强；对原子量较大的物质，康普顿散射较弱。

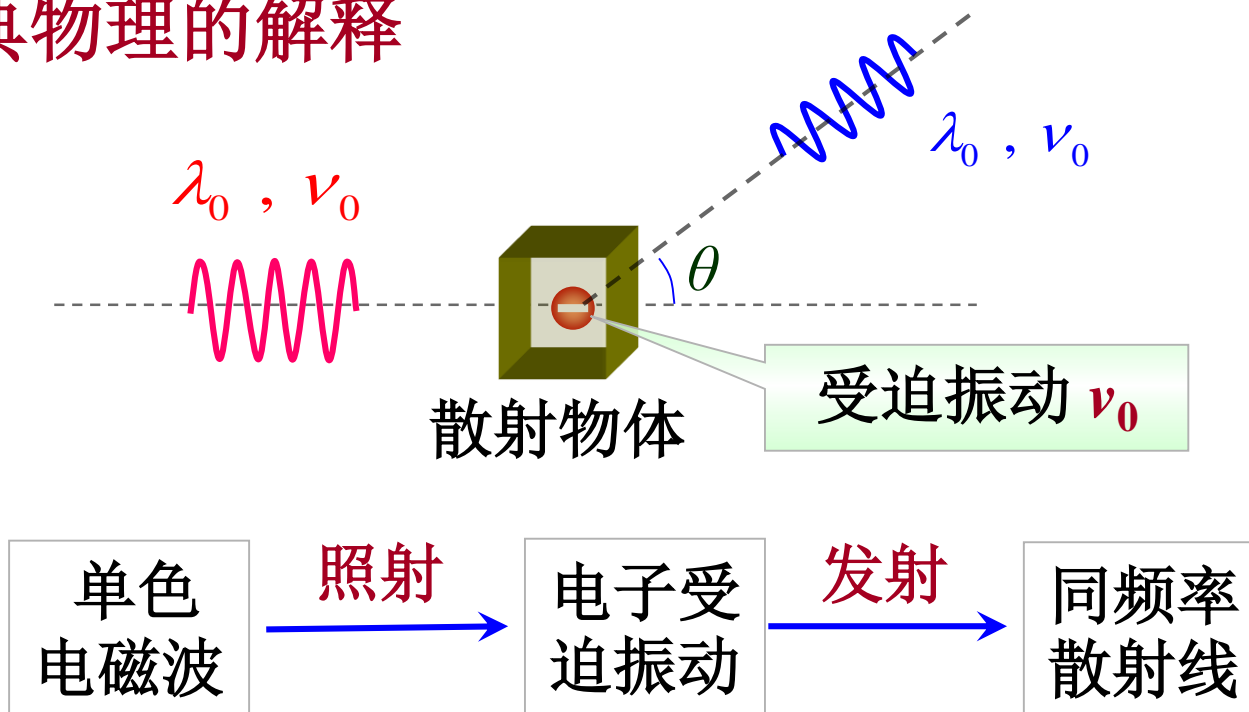


吴有训 (1897-1977)，江西高安人，1921年赴美国芝加哥大学随康普顿教授从事物理学研究，吴有训通过实验和理论分析，验证了某些X射线经散射后波长的变化。1924年他与康普顿合作发表了《经过轻元素散射的铝 (K α)射线的波长》，因此，物理学界把某些X射线经散射后波长变长的现象称为康普顿-吴有训效应。在普朗克、玻尔等人开创的现代物理学中，吴有训作出了杰出贡献。

二、对实验结果的分析

1、康普顿散射的实验结果与光的波动说相矛盾

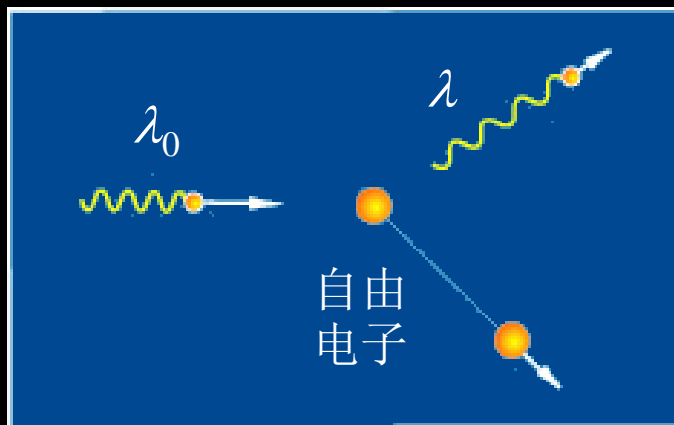
◆经典物理的解释



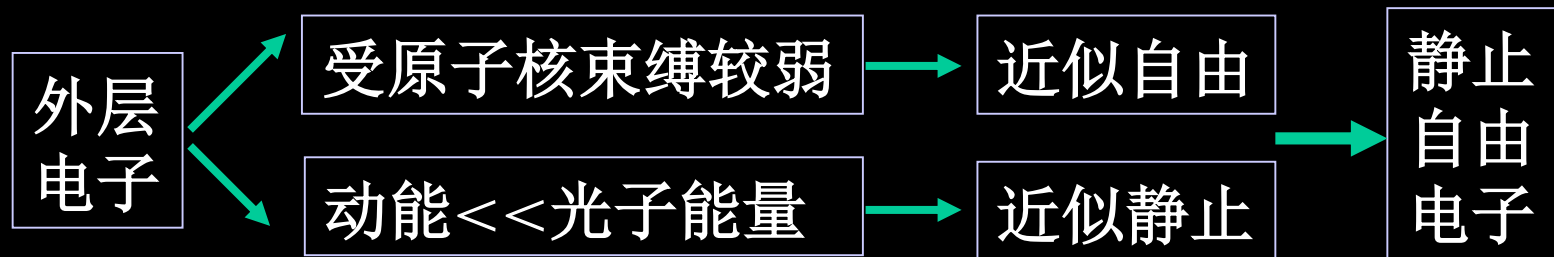
❖ 经典理论只能说明波长不变的散射，
而不能说明康普顿散射

2、光子理论解释

- (1) X射线由 $\varepsilon = h\nu$ 的光子组成;
- (2) 光子与实物粒子一样, 能与电子等粒子作**弹性碰撞**。

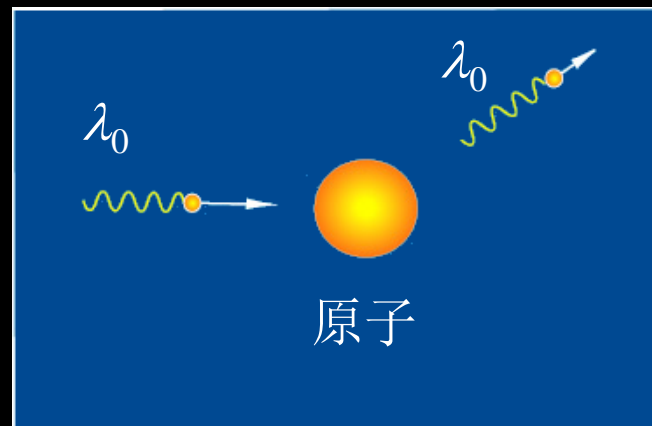
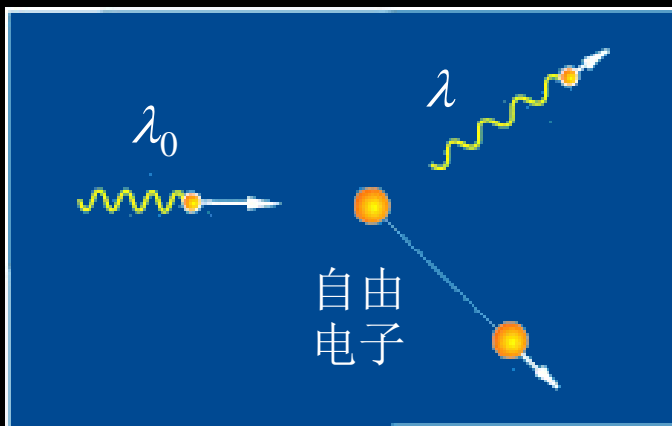


1) 入射光子与外层电子弹性碰撞



2、光子理论解释

- (1) X 射线由 $\varepsilon = h\nu$ 的光子组成;
- (2) 光子与实物粒子一样, 能与电子等粒子作**弹性碰撞**。



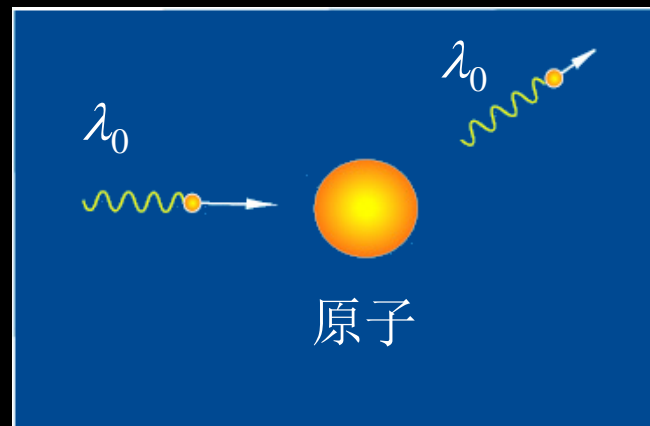
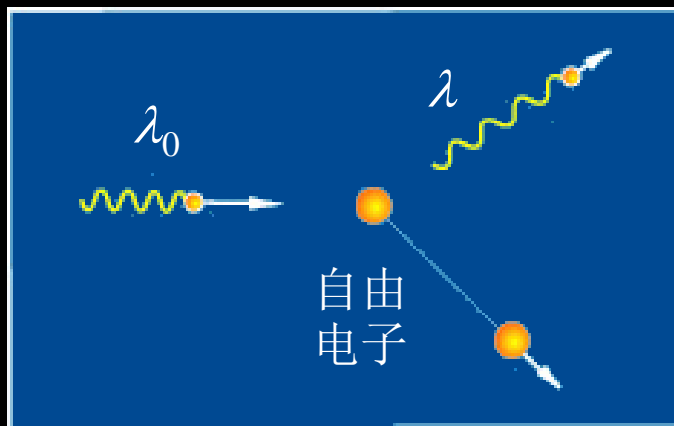
2) X 射线光子和原子内层电子相互作用

内层电子被束缚很紧, 光子相当于和整个原子发生碰撞。

光子质量远小于原子质量, 碰撞时光子不会明显损失能量, 波长不变。

2、光子理论解释

- (1) X射线由 $\varepsilon = h\nu$ 的光子组成;
- (2) 光子与实物粒子一样, 能与电子等粒子作**弹性碰撞**。



□ 结论

❖ 波长变化 X光子

内层电子	→	波长不变的散射线
外层电子	→	波长变大的散射线

康普顿散射

三、康普顿效应的理论解释

单个光子与单个静止的自由电子发生弹性碰撞

X 射线光子与电子的碰撞

(1) 碰撞前

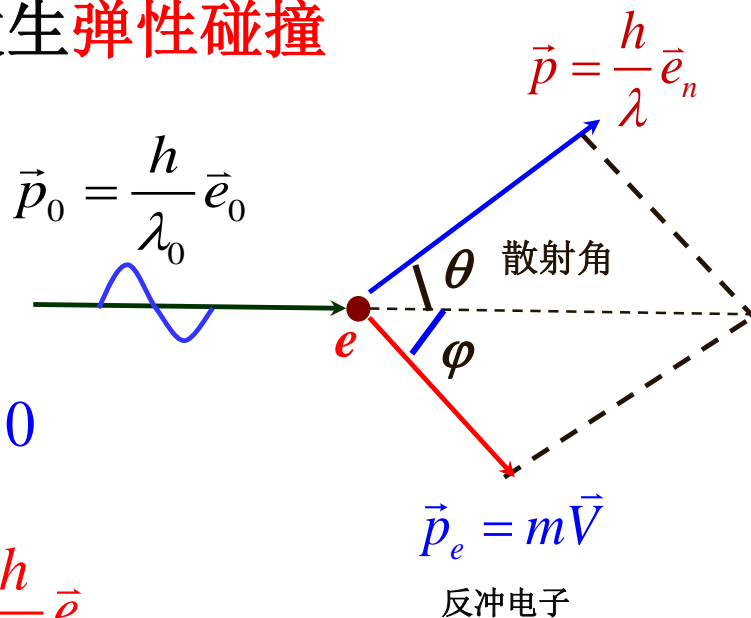
m_0 : 电子的静质量

*电子

能量 $E_0 = m_0 c^2$ 动量 $\vec{p}_{e0} = 0$

*光子

能量 $\varepsilon_0 = h\nu_0 = h \frac{c}{\lambda_0}$ 动量 $\vec{p}_0 = \frac{h}{\lambda_0} \vec{e}_0$



(2) 碰撞后

*电子 能量 $E = m c^2$ 动量 $\vec{p}_e = m \vec{V}$, $m = \frac{m_0}{\sqrt{1 - (V/c)^2}}$

*光子 能量 $\varepsilon = h\nu = h \frac{c}{\lambda}$ 动量 $\vec{p} = \frac{h}{\lambda} \vec{e}_n$

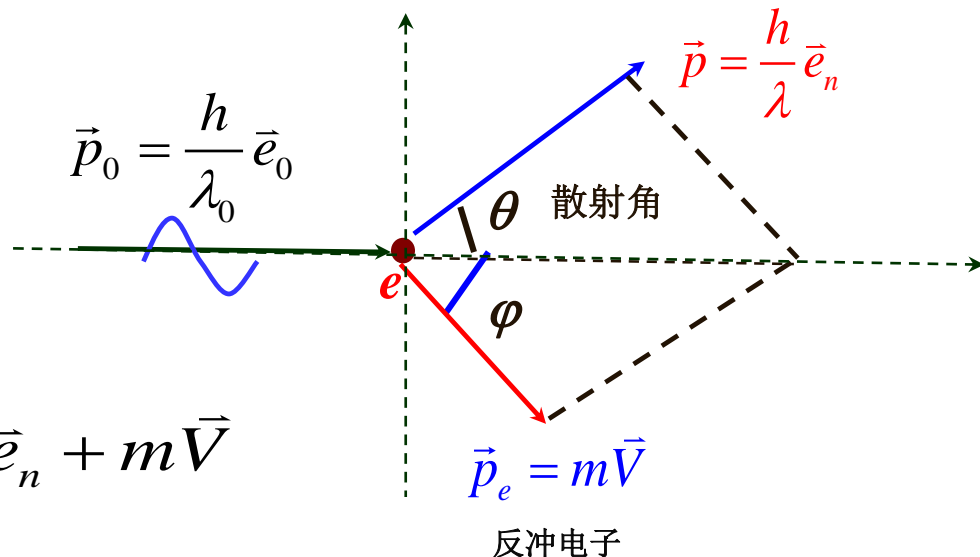
$\vec{p}_e = m \vec{V}$
反冲电子

碰撞过程中能量守恒

$$h\nu_0 + m_0c^2 = h\nu + mc^2$$

碰撞过程中动量守恒

$$\vec{p}_0 = \vec{p} + \vec{p}_e \Rightarrow \frac{h}{\lambda_0} \vec{e}_0 = \frac{h}{\lambda} \vec{e}_n + m\vec{V}$$



$$\frac{h}{\lambda_0} = \frac{h}{\lambda} \cos \theta + \frac{m_0 V \cos \varphi}{\sqrt{1 - (V/c)^2}}, \quad 0 = \frac{h}{\lambda} \sin \theta - \frac{m_0 V \sin \varphi}{\sqrt{1 - (V/c)^2}}$$

消去 φ 与 V 可得， 散射使波长的偏移量为：

$$\Delta\lambda = \lambda - \lambda_0 = \frac{h}{m_0 c} (1 - \cos \theta)$$

$$\Delta\lambda = \lambda_c (1 - \cos \theta)$$

电子的康普顿波长： $\lambda_c = \frac{h}{m_0 c} \approx 2.43 \times 10^{-12} \text{ m} = 0.00243 \text{ nm}$

本节知识点

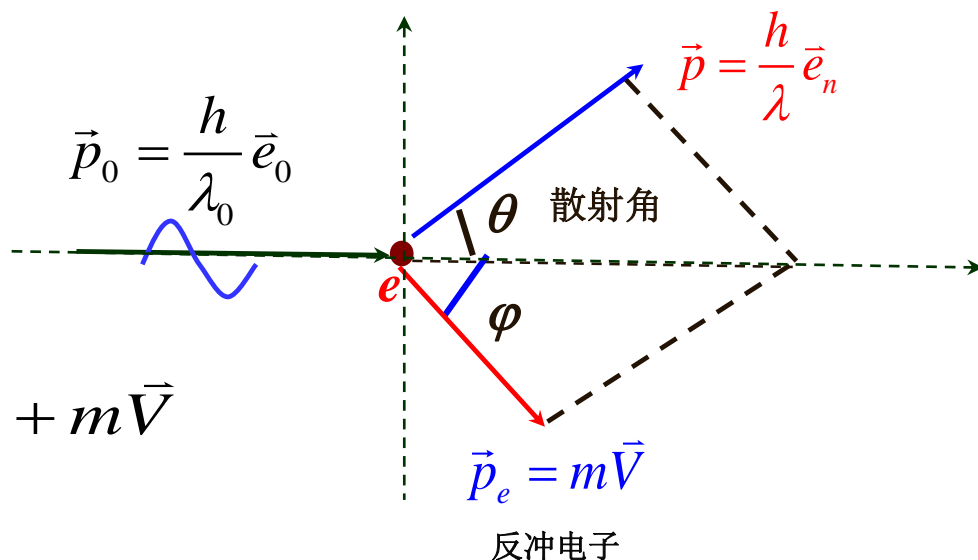
康普顿效应中，

碰撞过程中能量守恒

$$h\nu_0 + m_0c^2 = h\nu + mc^2$$

碰撞过程中动量守恒

$$\vec{p}_0 = \vec{p} + \vec{p}_e \Rightarrow \frac{h}{\lambda_0} \vec{e}_0 = \frac{h}{\lambda} \vec{e}_n + m\vec{V}$$



散射使波长的偏移量为：

$$\Delta\lambda = \lambda - \lambda_0 = \frac{h}{m_0c} (1 - \cos\theta)$$

$$\Delta\lambda = \lambda_c (1 - \cos\theta)$$

电子的康普顿波长： $\lambda_c = \frac{h}{m_0c} \approx 2.43 \times 10^{-12} \text{ m} = 0.00243 \text{ nm}$

例 10: 在康普顿效应中, 入射X射线的波长为 $\lambda_0 = 3 \times 10^{-3} \text{nm}$,
反冲电子的速度为光速的60%,
求: 散射X光的波长和散射角。

解: $h\nu_0 + m_0c^2 = h\nu + mc^2 \Rightarrow \frac{hc}{\lambda_0} + m_0c^2 = \frac{hc}{\lambda} + \frac{m_0}{\sqrt{1-v^2/c^2}} c^2$

散射X射线波长: $\lambda = \frac{4h\lambda_0}{4h - \lambda_0 m_0 c} = 4.34 \times 10^{-3} \text{nm}$

$$\Delta\lambda = \lambda - \lambda_0 = \lambda_c (1 - \cos\theta)$$

$$\Rightarrow \cos\theta = 1 - \frac{\lambda - \lambda_0}{\lambda_c} = 0.449$$

散射角: $\theta = 63.3^\circ$

例 11: 在康普顿效应中, 入射X射线的波长为 $\lambda_0 = 0.0700 \text{ nm}$, 散射X射线与入射X射线**垂直**,

求: 1) 反冲电子的动能;
2) 反冲电子运动方向与入射X射线之间的夹角。

解: 1) $\Delta\lambda = \lambda - \lambda_0 = \lambda_C (1 - \cos\theta) = \lambda_C (1 - \cos 90^\circ) = \lambda_C$

散射X射线波长: $\lambda = \lambda_0 + \lambda_C = 0.07243 \text{ nm}$

根据能量守恒: $h\nu_0 + m_0c^2 = h\nu + mc^2$

反冲电子的动能为:

$$E_k = mc^2 - m_0c^2 = h\nu_0 - h\nu = \frac{hc}{\lambda_0} - \frac{hc}{\lambda} = 9.42 \times 10^{-17} \text{ J}$$

例 11: 在康普顿效应中, 入射X射线的波长为 $\lambda_0 = 0.0700 \text{ nm}$, 散射X射线与入射X射线垂直,

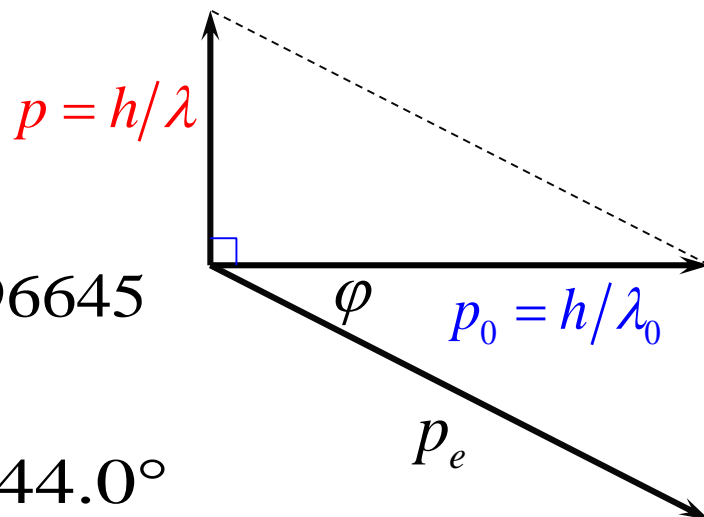
求: 1) 反冲电子的动能;
2) 反冲电子运动方向与入射X射线之间的夹角。

解: 2) 根据动量守恒:

$$\vec{p}_0 = \vec{p} + \vec{p}_e$$

$$\tan \varphi = \frac{p}{p_0} = \frac{h/\lambda}{h/\lambda_0} = \frac{\lambda_0}{\lambda} = 0.96645$$

$$\varphi = \arctan(0.96645) = 44.0^\circ$$



另, 反冲电子的动量:
$$p_e = \sqrt{p^2 + p_0^2} = \sqrt{\left(\frac{h}{\lambda}\right)^2 + \left(\frac{h}{\lambda_0}\right)^2}$$

例 12: 在康普顿效应中，一具有 10^4 eV 能量的 X 射线光子，与一静止的自由电子相碰撞，碰撞后，光子的散射角为 60° ，

求: 1) 散射 X 光子的波长、频率和能量各为多少？
2) 反冲电子的动能、动量和运动方向？

解: 1) $\varepsilon_0 = h\nu_0 = \frac{hc}{\lambda_0} \Rightarrow \nu_0 = \frac{\varepsilon_0}{h} = 2.41 \times 10^{18} \text{ Hz}$

$$\Rightarrow \lambda_0 = \frac{hc}{\varepsilon_0} = 0.1242 \text{ nm}$$

散射 X 射线波长: $\Delta\lambda = \lambda - \lambda_0 = \lambda_c (1 - \cos \theta) = \frac{1}{2} \lambda_c$

$$\Rightarrow \lambda = \lambda_0 + \frac{1}{2} \lambda_c = 0.1254 \text{ nm}$$

$$\Rightarrow \nu = \frac{c}{\lambda} = 2.392 \times 10^{18} \text{ Hz}$$

$$\varepsilon = h\nu = 9.905 \times 10^3 \text{ eV}$$

例 12 在康普顿效应中，一具有 10^4 eV 能量的 X 射线光子，与一静止的自由电子相碰撞，碰撞后，光子的散射角为 60° ，

求： 1) 散射 X 光子的波长、频率和能量各为多少？
2) 反冲电子的动能、动量和运动方向？

解： 2) 反冲电子的动能： $h\nu_0 + m_0c^2 = h\nu + mc^2$

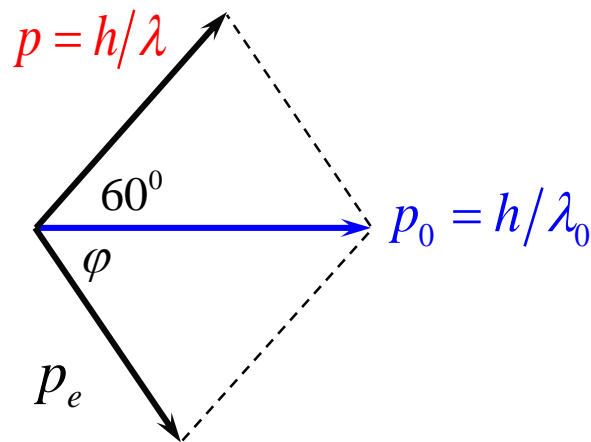
$$\Rightarrow E_k = mc^2 - m_0c^2 = h\nu_0 - h\nu \Rightarrow E_k = 95 \text{ eV}$$

反冲电子的动量： **方法-1：** 动量守恒

$$p_e^2 = p_0^2 + p^2 - 2p_0p \cos 60^\circ$$

$$\Rightarrow p_e = \sqrt{\left(\frac{h}{\lambda_0}\right)^2 + \left(\frac{h}{\lambda}\right)^2 - 2\frac{h}{\lambda_0} \cdot \frac{h}{\lambda} \cos 60^\circ}$$

$$\Rightarrow p_e = 5.26 \times 10^{-24} \text{ kg} \cdot \text{m} \cdot \text{s}^{-1}$$



例 12: 在康普顿效应中，一具有 10^4 eV 能量的 X 射线光子，与一静止的自由电子相碰撞，碰撞后，光子的散射角为 60° ，

求: 1) 散射 X 光子的波长、频率和能量各为多少？
2) 反冲电子的动能、动量和运动方向？

解: 2) 反冲电子的动能: $h\nu_0 + m_0c^2 = h\nu + mc^2$

$$\Rightarrow E_k = mc^2 - m_0c^2 = h\nu_0 - h\nu \Rightarrow E_k = 95 \text{ eV}$$

反冲电子的动量: **方法-2:** 相对论能量与动量关系

$$E^2 = E_0^2 + p_e^2 c^2$$

$$\Rightarrow p_e = \frac{\sqrt{E^2 - E_0^2}}{c} = \frac{\sqrt{E_k^2 + 2E_0E_k}}{c}$$

$$\Rightarrow p_e = 5.26 \times 10^{-24} \text{ kg} \cdot \text{m} \cdot \text{s}^{-1}$$

例 12: 在康普顿效应中，一具有 10^4 eV 能量的 X 射线光子，与一静止的自由电子相碰撞，碰撞后，光子的散射角为 60° ，

求： 1) 散射 X 光子的波长、频率和能量各为多少？
2) 反冲电子的动能、动量和运动方向？

解： 2) 反冲电子的运动方向

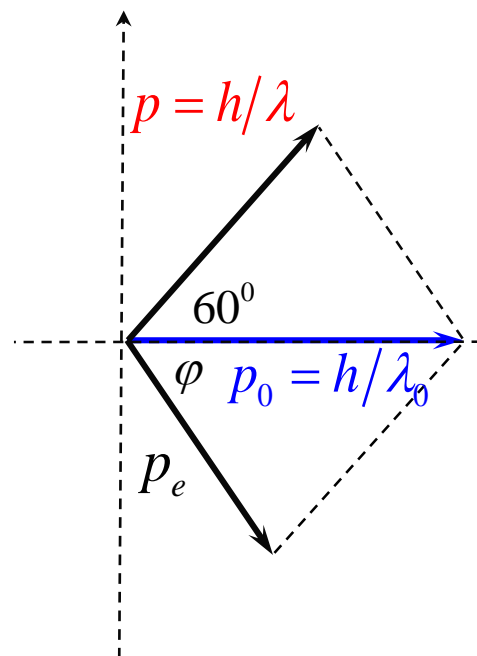
动量守恒（竖直方向）：

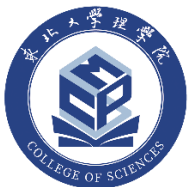
$$0 = p \sin 60^\circ - p_e \sin \varphi$$

$$0 = \frac{h}{\lambda} \sin 60^\circ - p_e \sin \varphi$$

$$\Rightarrow \sin \varphi = \frac{h}{p_e \lambda} \sin 60^\circ = 0.870$$

$$\Rightarrow \varphi = 60.4^\circ$$





第十五章 量子物理

15-4 氢原子的玻尔理论

知识点:

- 1、玻尔的氢原子理论（三条假设）
- 2、氢原子能级公式

研究原子结构规律有两条途径：

- 1、利用高能粒子轰击原子——轰出未知粒子来研究；
- 2、通过在外界激发下，原子发射的光谱来研究。

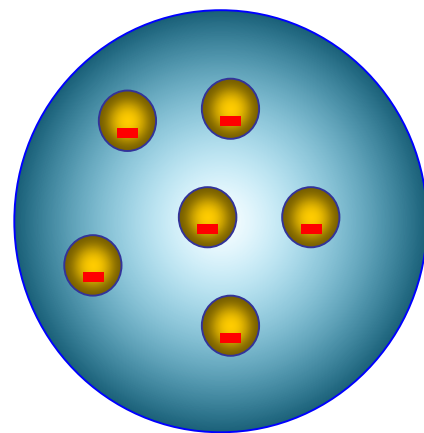
原子光谱是研究和了解原子内部结构的重要方法

一、卢瑟福的原子模型 Atomic Nuclear Model Structure

1、汤姆逊葡萄干蛋糕模型 J. J. Thomson (1904)

原子中的正电荷和原子的质量均匀地分布在半径为 10^{-10}m 的球体范围内，电子浸于其中。

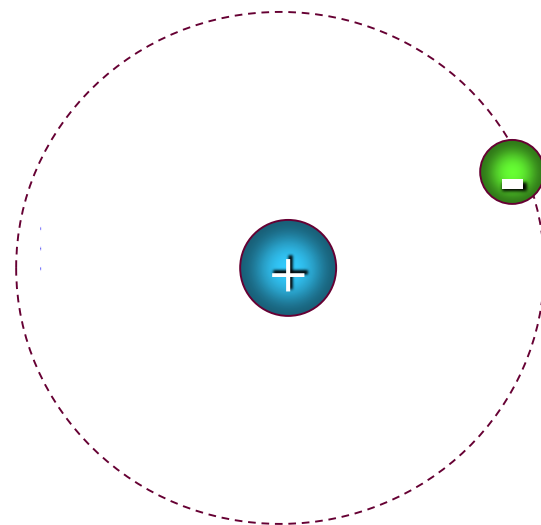
整个原子呈胶冻状的球体，正电荷均匀分布于球体上，而电子镶嵌在原子球内，在各自的平衡位置附近做简谐振动，并发射同频率的电磁波。



2、卢瑟福的原子有核模型

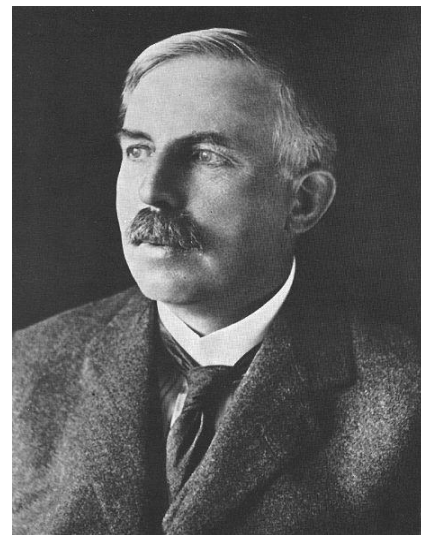
E.Rutherford (1911) α 粒子散射实验

原子由原子核和核外电子构成，原子核带正电荷，它几乎集中了原子的全部质量，占据整个原子的极小一部分空间，而电子带负电，绕着原子核转动，如同行星绕太阳转动一样。

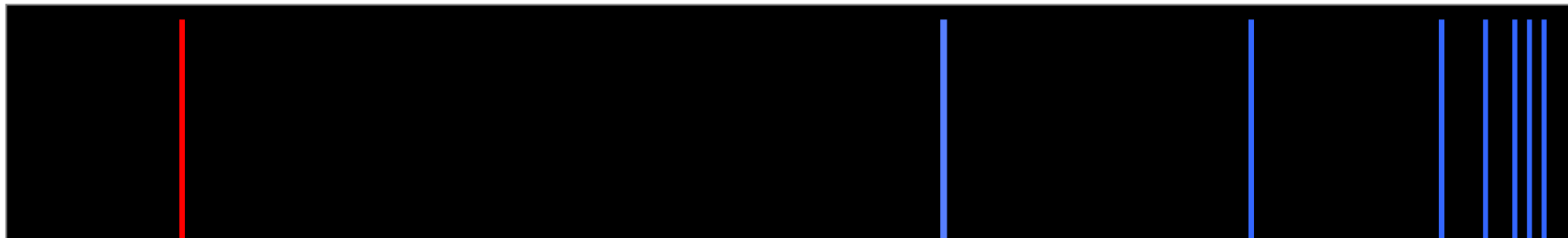


卢瑟福 E.Rutherford (1871-1937)

英国物理学家，J.J.汤姆孙的研究生，**原子核物理学的奠基人**。1899年发现 α 和 β 射线，提出衰变理论，**1908年获诺贝尔化学奖**。1911年根据 α 粒子散射理论提出原子有核模型，被誉为**原子物理之父**。



二、氢原子光谱的实验规律



$$H_{\alpha} = 6562.8 \text{ \AA},$$

$$H_{\beta} = 4861.3 \text{ \AA}, \quad H_{\gamma} = 4340.5 \text{ \AA},$$

1、氢原子光谱是彼此分裂的线状光谱，
每一条谱线具有确定的波长（或频率）；

2、巴尔末公式



1885年，瑞士中学教师
巴尔末 J.J. Balmer
(1825-1898)

发现了氢原子光谱在
可见光部分的规律：

$$\lambda = B \frac{n^2}{n^2 - 4},$$

$$B = 364.56 \text{ nm}$$

当 $n=3, 4, 5, \dots$ 时，分别为 H_{α} ,
 H_{β} , H_{γ} , \dots 等谱线的波长

二、氢原子光谱的实验规律

2、巴尔末公式

$$\lambda = B \frac{n^2}{n^2 - 4}, \quad B = 364.56 \text{ nm}$$

当 $n=3, 4, 5, \dots$ 时, 分别为 $H_\alpha, H_\beta, H_\gamma, \dots$ 等谱线的波长

$$\nu = \frac{c}{\lambda} = \frac{4c}{B} \left(\frac{1}{2^2} - \frac{1}{n^2} \right) \quad \text{令: } \tilde{\nu} = \frac{1}{\lambda} \text{ 称为波数}$$

即单位长度内完整波的个数

$$\tilde{\nu} = \frac{1}{\lambda} = \frac{4}{B} \left(\frac{1}{2^2} - \frac{1}{n^2} \right) = R_H \left(\frac{1}{2^2} - \frac{1}{n^2} \right), \quad n = 3, 4, 5, \dots$$

里德伯常数 $\longleftarrow R_H = 1.097373 \times 10^7 \text{ m}^{-1}$

二、氢原子光谱的实验规律

3、里德伯公式(1890)



Janne Rydberg
1854—1919

氢原子光谱的普遍公式

$$\tilde{\nu} = R_H \left(\frac{1}{k^2} - \frac{1}{n^2} \right)$$

$$\begin{cases} k = 1, 2, 3, \dots \\ n = k + 1, k + 2, \dots \end{cases}$$

$$R_H = 1.097373 \times 10^7 \text{ m}^{-1}$$

二、氢原子光谱的实验规律

3、里德伯公式(1890)

$$\tilde{\nu} = R_H \left(\frac{1}{1^2} - \frac{1}{n^2} \right), \quad n = 2, 3, \dots$$

莱曼系(紫外光)

T. Lyman 1914



$$\tilde{\nu} = R_H \left(\frac{1}{2^2} - \frac{1}{n^2} \right), \quad n = 3, 4, \dots$$

巴尔末系

(可见光)

$$\tilde{\nu} = R_H \left(\frac{1}{3^2} - \frac{1}{n^2} \right), \quad n = 4, 5, \dots$$

帕邢系(红外光)

F. Paschen 1908



$$\tilde{\nu} = R_H \left(\frac{1}{4^2} - \frac{1}{n^2} \right), \quad n = 5, 6, \dots$$

布拉开系(红外光)

F. Brackett 1922

$$\tilde{\nu} = R_H \left(\frac{1}{5^2} - \frac{1}{n^2} \right), \quad n = 6, 7, \dots$$

普丰德系(红外光)

H.A. Pfund 1924



三、玻尔氢原子量子论

1、经典核模型的困难

根据经典电磁理论，电子绕核作匀速圆周运动，作加速运动的电子将不断向外辐射电磁波。

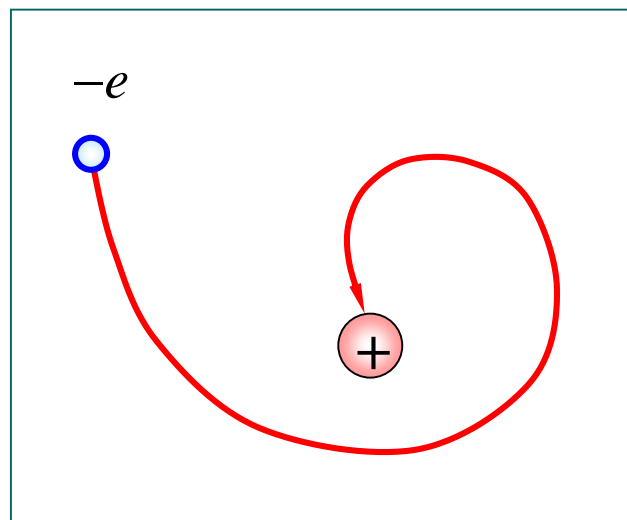
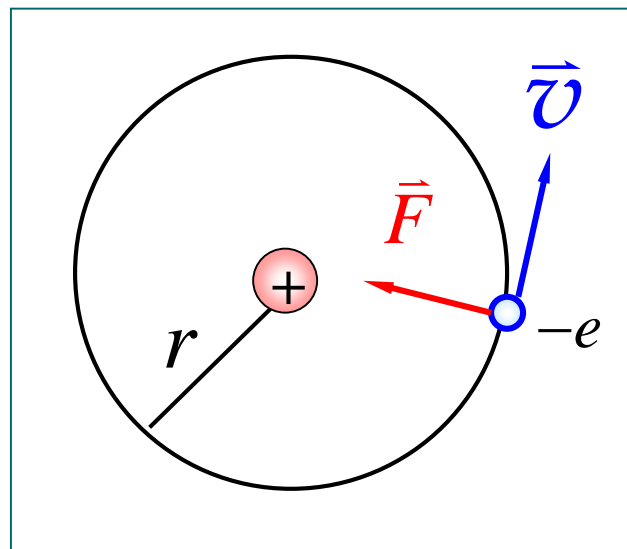
◆原子光谱的分立性

发射电磁波频率等于电子绕核转动频率→能量逐渐减小，电子绕核旋转的频率也逐渐改变，

发射光谱应是连续谱；

◆原子的稳定性

电子绕核转动→发射电磁波
→原子总能量减小→电子作螺旋运动
→电子将逐渐的接近原子核而后相遇，
原子不稳定



玻尔的氢原子理论的三个重要假设

1)定态假设; 2)角动量量子化条件假设; 3)频率条件假设

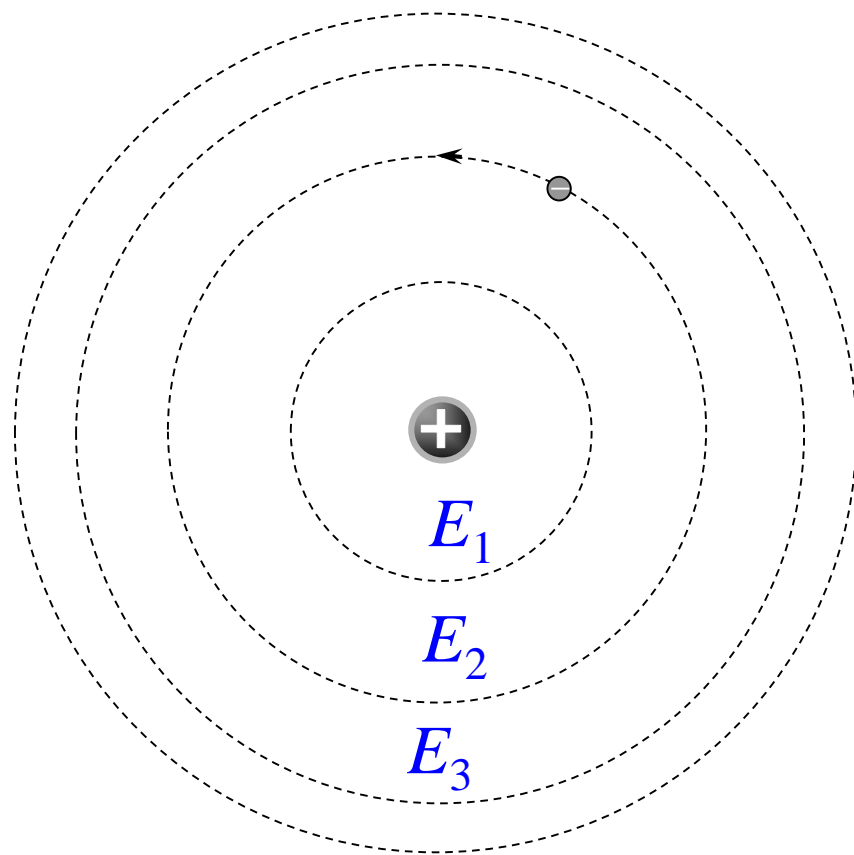
● 定态假设

原子中的电子只能在一些半径不连续的轨道上作圆周运动。

在这些轨道上运动的电子不辐射（或吸收）能量而处于稳定状态，称为**定态**。

相应的轨道称为**定态轨道**
与定态相应的能量（**能级**）
分别为： $E_1, E_2, E_3 \cdots$

$$E_1 < E_2 < E_3 < \cdots$$



玻尔的氢原子理论的三个重要假设

1)定态假设; 2)角动量量子化条件假设; 3)频率条件假设

● 角动量量子化条件假设

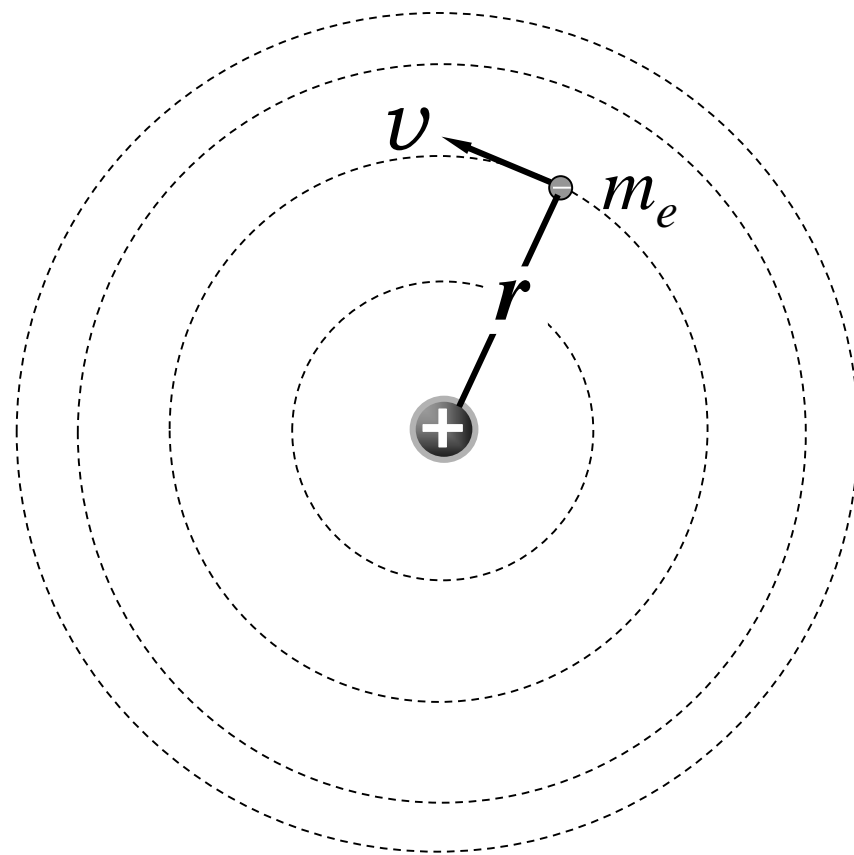
在定态轨道上运动的电子，其**角动量**只能取 $h / (2\pi)$ 的整数倍，即：

$$L = m_e v r = n \frac{h}{2\pi} = n \hbar$$

$$\hbar = \frac{h}{2\pi} \text{ -----约化普朗克常数}$$

称为：**角动量量子化条件**

$n = 1, 2, 3, \dots$ 为**主量子数**



玻尔的氢原子理论的三个重要假设

1)定态假设; 2)角动量量子化条件假设; 3)频率条件假设

● 频率条件假设

电子从某一定态向另一定态跃迁时将发射（或吸收）光子。

若初态和终态的能量分别为 E_k 和 E_n

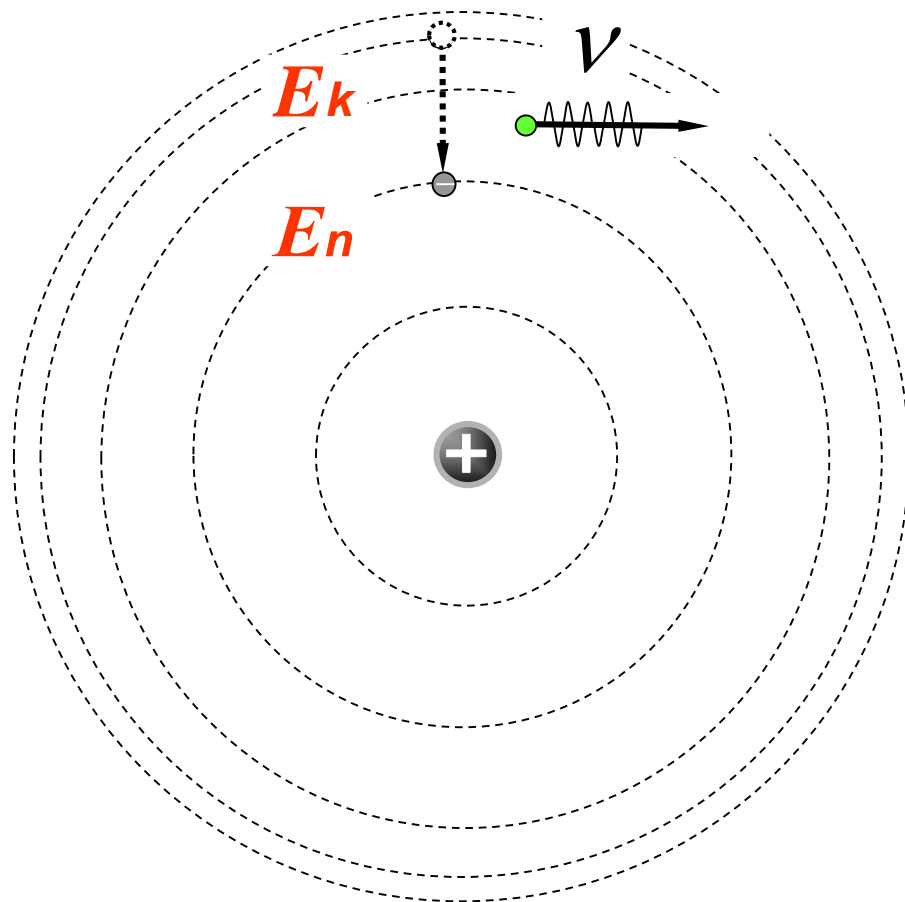
$E_k > E_n$ -----发射光子,

$E_k < E_n$ -----吸收光子

则发射或吸收光子的频率为:

$$\nu_{kn} = \frac{|E_n - E_k|}{h}$$

称为: 玻尔的频率条件



3、氢原子轨道半径的计算

由量子化条件及牛顿定律:

$$\left\{ \begin{array}{l} m_e v r = n \frac{h}{2\pi}, \quad \text{角动量量子化} \\ F_e = \frac{e^2}{4\pi\epsilon_0 r^2} = \frac{m_e v^2}{r}, \quad \text{库仑力=向心力} \end{array} \right.$$

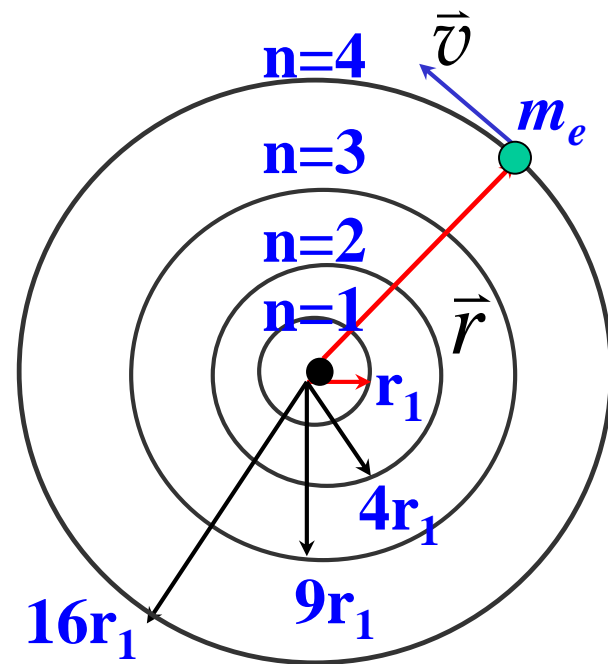
$$r_n = n^2 \frac{\epsilon_0 h^2}{\pi m_e e^2}, \quad \frac{1}{2} m_e v_n^2 = \frac{e^2}{8\pi\epsilon_0 r_n}$$

$$n = 1, 2, 3 \dots$$

$$r_n = n^2 r_1$$

$n = 1$, 玻尔半径

$$r_1 = 5.3 \times 10^{-11} \text{ m} = 0.53 \text{ \AA}$$



轨道量子化

4、能量的计算

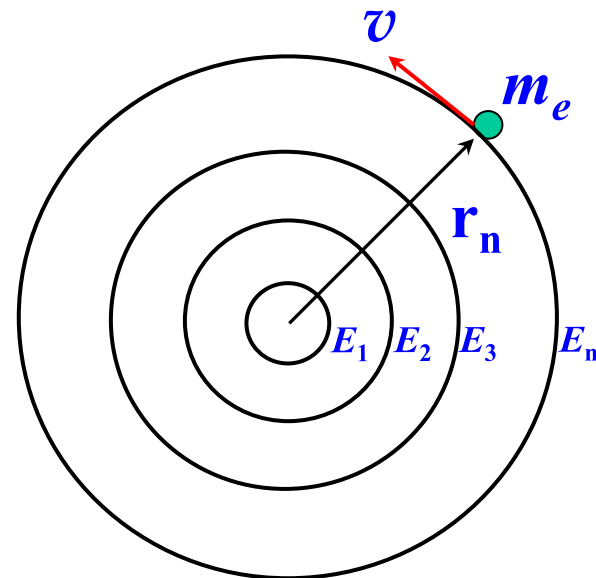
电子在量子数为 n 的轨道上运动时，原子系统总能量是：

$$E_n = \frac{1}{2} m_e v_n^2 - \frac{e^2}{4\pi\epsilon_0 r_n}$$

$$r_n = n^2 \frac{\epsilon_0 h^2}{\pi m_e e^2}, \quad \frac{1}{2} m_e v_n^2 = \frac{e^2}{8\pi\epsilon_0 r_n}$$

$$E_n = -\frac{m_e e^4}{8\epsilon_0^2 h^2} \cdot \frac{1}{n^2},$$

$$E_n = \frac{E_1}{n^2}$$



基态能量：

$n = 1$ 时，

$$E_1 = -13.6 \text{ eV}$$

$n = 1, 2, 3, \dots$ 这种量子化的能量称为能级

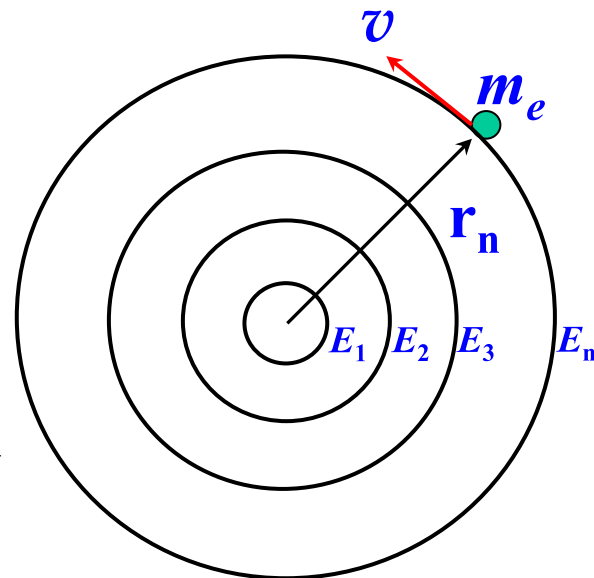
与量子力学的结论一致

4、能量的计算

能级：

$$E_n = \frac{E_1}{n^2}$$

$$n = 1, 2, 3, \dots$$



1) **基态能量**: $n = 1$, $E_1 = -13.6 \text{ eV}$

此时能量最低，原子最稳定

2) **激发态**: $n > 1$

第一激发态: $n = 2$; 第二激发态: $n = 3$;

3) **电离状态**: $n \rightarrow \infty$, $r_n \rightarrow \infty$, $E_n \rightarrow 0$

把电子从氢原子**基态**轨道移至无限远处($n \rightarrow \infty$, $E_\infty = 0$)
所需要的最少能量值，即**电离能** (Ionization Energy)。

$$E_{\text{电离能}} = 13.6 \text{ eV}$$

5、氢原子光谱的理论解释

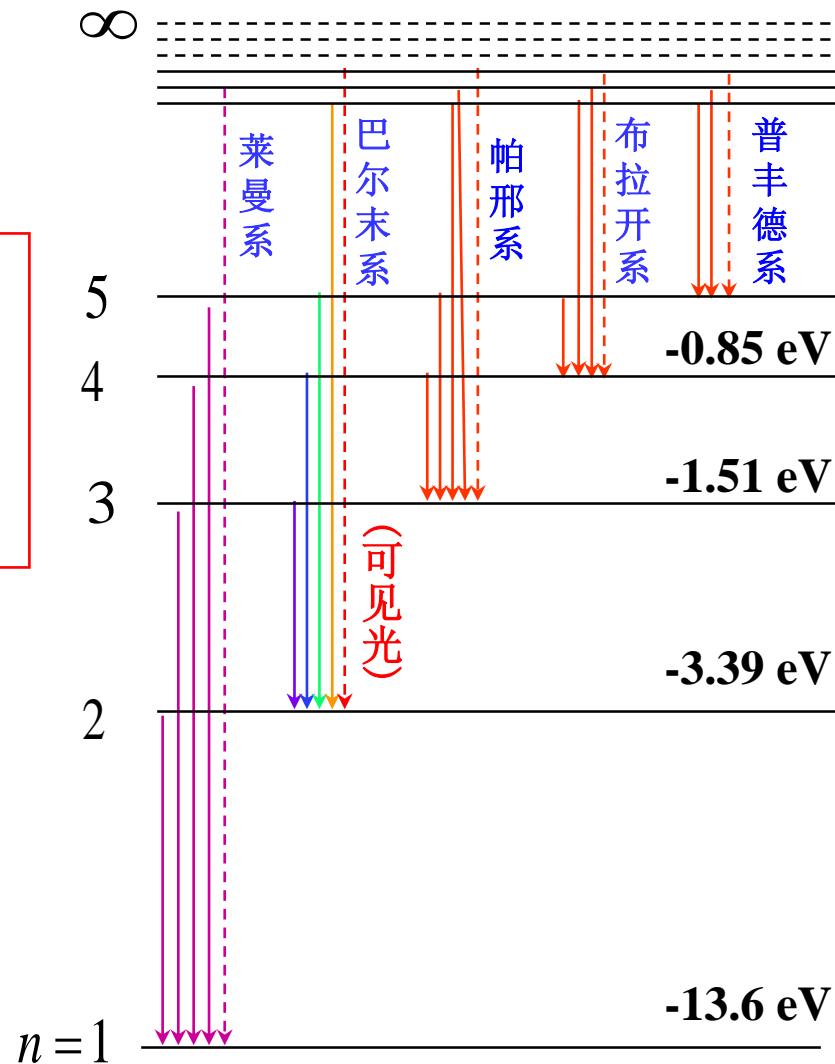
$$E_n = -\frac{1}{n^2} \frac{m_e e^4}{8\varepsilon_0^2 h^2}$$

$$\nu_{kn} = \frac{E_n - E_k}{h}$$

$$\tilde{\nu}_{kn} = \frac{m_e e^4}{8\varepsilon_0^2 h^3 c} \left(\frac{1}{k^2} - \frac{1}{n^2} \right)$$

$$R_H = \frac{m_e e^4}{8\varepsilon_0^2 h^3 c} = 1.097373 \times 10^7 \text{ m}^{-1}$$

从其它能级到同一能级的跃迁属于同一谱线系。



四、玻尔理论意义与局限性

1、玻尔的贡献

玻尔关于“**定态**”和“**能级跃迁决定谱线频率**”的假设是两个重要的基本概念，在量子力学理论中占有重要的地位。

- 1) 正确地指出**原子能级**的存在（原子能量量子化）；
- 2) 正确地指出**定态**和**角动量量子化**的概念；
- 3) 正确的解释了氢原子及类氢离子（单电子）光谱；

四、玻尔理论意义与局限性

2、玻尔理论的局限性

- 1) 对稍复杂的原子光谱，定性、定量都不能解释；
- 2) 对氢原子谱线的强度、宽度、偏振等问题无法处理；
- 3) 把微观粒子的运动视为有确定的**轨道**是不准确的；
- 4) 是**半经典半量子**理论，玻尔理论的出发点是经典力学，又加上一些与经典理论不相容的量子化条件来限定稳定状态，这些条件又不能从经典理论中给出解释，是一种不自洽的理论。即把微观粒子看成是遵守经典力学的质点，同时，又赋予它们量子化的特征。这本身就决定了理论本身的局限性。

- 例 13:** 1) 使氢原子基态下的电子移离原子（电离），至少需要多少能量？
2) 如用光照射实现氢原子电离，光的波长多大？

解：1) 把电子从氢原子基态轨道移至无限远处所需要的能量值，即电离能，

$$E_{\text{电离}} = E_{\infty} - E_1 = 13.6 \text{ eV}$$

$$2) \quad \varepsilon = h\nu = h \frac{c}{\lambda} = E_{\text{电离}},$$

$$\Rightarrow \lambda = \frac{ch}{E_{\text{电离}}} = \frac{3 \times 10^8 \times 6.63 \times 10^{-34}}{13.6 \times 1.60 \times 10^{-19}} = 91.2 \text{ nm}$$

（紫外光）

例 14: 实验发现基态氢原子可吸收能量为 **12.75 eV** 的光子,

求: 1) 氢原子吸收该光子后将被激发到哪个能级?

2) 受激发的该氢原子系统向低能级跃迁时,
可能发出哪几条光谱线? 有几条**可见光谱线**?

解: 1) 设氢原子吸收该光子后, 最高能激发到第 n 个能级,

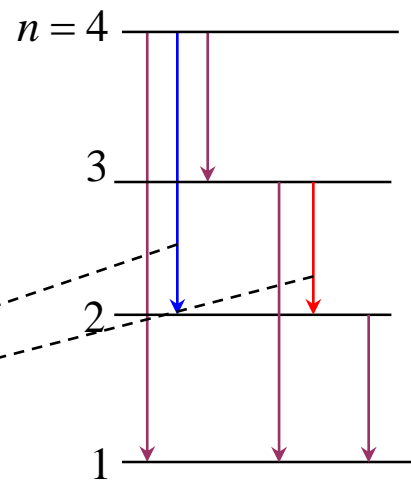
此能级的能量为: $E_n = -\frac{13.6}{n^2} \text{ eV}$

$$E_n - E_1 = 12.75 \text{ eV}, \quad -\frac{13.6}{n^2} \text{ eV} - (-13.6 \text{ eV}) = 12.75 \text{ eV} \Rightarrow n = 4$$

2) 氢原子最高能激发到 $n=4$ 的能级

如图所示, 可发出**6条谱线**

其中**2条谱线**为可见光



例 15: 用某频率的单色光照射基态氢原子系统，
使氢原子系统发射出三种频率的谱线，

求: 该单色光的频率为多少？

解: 基态氢原子吸收该光子后，激发到 $n=3$ 能级，

$$E_n = -\frac{13.6}{n^2} \text{eV}$$

$$\varepsilon = h\nu = E_n - E_1$$

$$= \left(-\frac{13.6}{3^2} \text{eV} \right) - \left(-\frac{13.6}{1^2} \text{eV} \right),$$

$$\Rightarrow \nu = \frac{8}{9h} \times 13.6 \text{eV} \Rightarrow \nu = 2.917 \times 10^{15} \text{ Hz}$$

